



## دراسة نظرية في الكالورنيات البرمية لنقطة كمية في مجال مغناطيسي:

### حساب تيار الحرارة البرمي

ريمان جمال جاسم و جنان مجید المخ

قسم الفيزياء، كلية التربية للعلوم الصرفة، جامعة البصرة، بصرة، العراق.

#### الملخص:

في هذا البحث قدمنا أنموذج حسابي لدراسة وحساب التيار الحراري البرمي والذي يعد مدخل لدراسة الخواص الكهروحرارية البرمية لنقطة كمية موضوعة بين قطبين غير مغناطيسيين. أذ أن هناك مجال مغناطيسي خارجي يؤثر على النقطة الكمية فقط حيث أن موقع مستويات الطاقة لنقطة الكمية تكون مرتبطة بال المجال المغناطيسي المؤثر عليها. ولما كان بحثنا يهتم بالكالورنيات البرمية لأن الجهد الكيميائي للأقطاب ستحدد بالانحياز البرمي المسلط على الأقطاب والانحدار في درجات الحرارة على الأقطاب. كما أن المعالجة لا تشمل درجات الحرارة القريبة من درجة حرارة كوندو والتي تكون عادة واطئة جدا في الأجهزة النانوية وأن قوة الاقتران بين النقطة الكمية وأي قطب لا تعتمد على البرم.

**الكلمات المفتاحية:** النقاط الكمية ، المواد الكهروحرارية، خصائص النقل البرمي، تيار الحرارة البرمي.

والتوصيلية الحرارية لأنظمة البلوريّة. أن التراكيب النانوية توفر فرصة لقطع الصلة بين النقل الكهربائي والنقل الحراري وذلك من خلال تقديم ميكانيكيات استطرارة جديدة. لقد أظهرت التطورات في الكفاءة الكهروحرارية Thermoelectric Efficiency الشبيكية خالل تصميم التراكيب النانوية. أن كفاءة الأجهزة الكهروحرارية ترتبط بقوة مع منحنى الكفاءة High performance للمواد الكهروحرارية. ولكن التوصيلية الحرارية وحدها يمكن أن تتغير ولها جزءان توصيلية حرارية بسبب الفوتونات وتوصيلية حرارية بسبب الإلكترونات. ويمكن أخماد التوصيلية الحرارية بسبب الفوتونات في التراكيب النانوية لغرض الحصول

#### 1 - المقدمة:-

تصف هندسة البرم عمليات السيطرة ومعالجة الأنظمة البرمية الكمية لتطوير الأجهزة والمواد. ويشمل هذا استخدام درجة الحرية البرم كمجس للظواهر المعتمدة على البرم. ويسبب الأهمية الأساسية للبرم للعمليات الفيزيائية والكميائية ، فإن هندسة البرم تكون مناسبة لمدى واسع من التطبيقات العملية والتكنولوجية [1]. وخلال العشر سنوات الماضية جذب استكشاف المواد الكهروحرارية ذات الأداء العالي High performance الكثير من الاهتمام من الناحيتين الأكademية والتطبيقية. إذ أن التحدي لتطوير المواد الكهروحراريه ذات الأداء الفائق هو لتصميم العلاقة الوثيقة للمعاملات الفيزيائية الكهروحراريه للتوصيلية الكهربائية، ومعامل سبيك

2 - يربط موقع مستوى طاقة النقطة الكمية المؤثر Coulomb Correlation بطاقة كولوم للتبادل على النقطة الكمية energy.

3 - تحدد موقع مستويات الطاقة الفعالة للنقطة الكمية فقط بال المجال المغناطيسي المؤثر.

4 - لا تعتمد قوة الاقتران Coupling Strength بين النقطة الكمية وأي قطب على البرم، علماً بأن اعتمادها على البرم يمكن معالجته في أنموذجنا الحاسبي.

## 2- الأنماذج الحاسبي:-

يعطى الهايلتونيين الخاص بنقطة كمية مقترنة إلى قطبين بهامiltonيين Anderson المعروف (Anderson Hamiltonian) Impurity والذى يعطى بما يلى [8]:-

$$H = \sum_{\sigma} E_d^{\sigma} n_d^{\sigma} + U n_d^{\sigma} n_d^{-\sigma} + \sum_{k\alpha, \sigma} E_{k\alpha} C_{k\alpha}^{\sigma+} C_{k\alpha}^{\sigma}$$

$$+ \sum_{k\alpha, \sigma} (V_{k\alpha} C_{k\alpha}^{\sigma+} C_d^{\sigma} + V_{k\alpha}^* C_{k\alpha}^{\sigma+} C_{k\alpha}^{\sigma}) \quad (1)$$

يمثل الحدين الأول والثاني جزء الهايلتونيين الذي يخص النقطة الكمية حيث أن  $E_d^{\sigma}$  يمثل مستوى طاقة النقطة الكمية للبرم  $\sigma$  ، بمعنى أن  $E_d^{\sigma} = E_d - \sigma h$ . حيث  $E_d$  يمثل أعلى مستوى طاقة مشغول في النقطة الكمية والذي يكون موقعه متعلق بخصائص النقل ،  $\sigma$  تمثل برم الأكترونون  $\sigma=+1$  البرم باتجاه الأعلى و  $\sigma=-1$  للبرم باتجاه الأسفل . وأخيراً  $\hbar$  تمثل فاصلة زيمان  $(h=g\mu_B B)$  يمثل العامل  $g$  (g-factor) و  $\mu_B$  Magneton Bohr المجال المغناطيسي المؤثر [9] . أما  $n_d^{\sigma} = C_d^{\sigma+} C_d^{\sigma}$  فتمثل عدد أشغال النقطة الكمية المقابل للمستوى  $E_d^{\sigma}$ . يمثل  $C_d^{\sigma+}$  و  $C_d^{\sigma}$  مؤثري الخلق والهدم للإلكترونات ذات البرم  $\sigma$  على النقطة الكمية وعلى التوالي . وتمثل  $U$  طاقة شحن كولوم Coulomb charging للنقطة energy كمية [ 10 ] حيث أن  $U = \mu - \mu(=0)$  ويمثل الجهد الكيميائي في حالة الاتزان وعليه فان  $E_d$  يمثل

على توصيلية كهربائية وشكل كفاءة أفضل [4-2]. على أية حال فإن شكل الكفاءة يمكن أن يزداد بكثافة الحالات حيث تعتمد كثافة الحالات على تركيب الحزمة للمواد. أن نقصان أبعاد المواد يسبب فروقات دراماتيكية في كثافة الحالات الإلكترونية بمعنى مواد صلدة 3D إلى أبار كمية 2D إلى أسلاك كمية 1D إلى نقاط كمية 0D والتي توفر فرص للتحكم بالمعاملات الفيزيائية بشكل مستقل. أن المواد المنخفضة الأبعاد low dimensional materials توفر طرق جديدة لمعالجة خصائص الإلكترون والفوتون لمادة معينة [5-7]. أن المواد الكهروحرارية يمكن أن تنتج القدرة الكهربائية electrical power) مباشرة من تطبيق الفرق في درجة الحرارة. أن التطورات الأخيرة المعتمدة على المواد النانوية أظهرت تحسينات كبيرة في أداء الأجهزة الكهروحرارية ومع ذلك فإن القياس الدقيق صعب للغاية. في هذا البحث قدمنا أنموذج حسابي يختص دراسة وحساب التيار الحراري البرمي والذي يعد مدخل لدراسة الخواص الكهروحرارية البرمية لنقطة كمية موضوعة بين قطبين غير مغناطيسين وكما هو موضح في الشكل (1a) أذ أن هناك مجال مغناطيسي خارجي يؤثر على النقطة الكمية فقط. كما يوضح الشكل (1b) مخطط الطاقة للنظام المأخوذ بنظر الاعتبار في دراستنا. أذ أن  $E_d^{\sigma}$  و  $E_d^{-\sigma}$  تمثل مستويات الطاقة الفعالة للنقطة الكمية وأن فاصلة الطاقة بينهما مرتبطة بال المجال المغناطيسي المؤثر عليها. أما  $\mu_{\alpha}$  فتمثل الجهد الكيميائي للقطب  $\alpha$  الذي يحدد بالانحياز البرمي المسلط على الأقطاب أو الانحدار في درجات الحرارة على الأقطاب علماً بأن الأنماذج الحاسبي الذي اعتمدناه في دراستنا يأخذ بنظر الاعتبار ما يلى:-

1 - لا تشتمل المعالجة درجات حرارة قريبة من درجة حرارة كوندو والتي تكون عادة واطئة جداً للأجهزة النانوية.

تتمثل  $e$  شحنة الألكترون و  $h$  ثابت بلانك والرمز  $\mathcal{T}^\sigma(E)$  يمثل دالة النفاذية transmission function للإلكترونات ذات البرم  $\sigma$  وهي تعطى كما يلي [12]:-

$$\mathcal{T}^\sigma(E) = \pi \frac{2\Gamma_R \Gamma_L}{\Gamma_R + \Gamma_L} A^\sigma(E) \quad (5)$$

تمثل كثافة الحالات على النقطة الكمية بوجود  $A^\sigma(E)$  Retarded Green Function للأقطاب وترتبط بدالة كرين [-9] وفقاً للعلاقة التالية:

$$A^\sigma(E) = -\frac{1}{\pi} \operatorname{Im} G_r^\sigma(E) \quad (6)$$

-: حيث أن

$$G_r^\sigma(E) = \frac{1}{E - E_d^\sigma + i\Gamma} \quad (7)$$

فتمثل دالة توزيع فيرمي - ديراك للقطب ( $E$ )  
في حالة الالأتران:  $\sigma$ - وللقناة البرمية

$$f_{\alpha}^{\sigma}(E, T_{\alpha}) = \frac{1}{e^{(E - \mu_{\alpha}^{\sigma})/k_B T_{\alpha}} + 1} \quad (8)$$

ثابت  $k_B$  تمثل الجهد الكيميائي المعتمد على البرم،  $\mu_\alpha^\sigma$  تمثل درجة حرارة القطب  $T_\alpha$ . بولتزمن و يمكن أن نكتب (8 - 5) وبالاستفادة من العلاقات التالية:-

$$\mathcal{T}^\sigma(E) = \pi \frac{2\Gamma_R \Gamma_L}{\Gamma_R + \Gamma_L} \frac{\Gamma}{(E - E_d^\sigma)^2 + \Gamma^2} \quad (9)$$

من أصل الكتروني  $I_Q$  [أما تيار الحرارة فيعطي بما يلي :-]

$$I_Q = \frac{1}{h} \sum_{\sigma} \int dE (E - \mu) [f_L^{\sigma}(E, T_L) - f_R^{\sigma}(E, T_R)] \mathcal{T}^{\sigma}(E) \quad (10)$$

- يمكن إعادة كتابة العلاقة (10) كالتالي:

$$I_Q = \sum_{\sigma} I_Q^{\sigma} \quad (11)$$

**حيث أن:-**

$$I_Q^\sigma = \frac{1}{\hbar} [I_{QL}^\sigma - I_{QR}^\sigma] \quad (12)$$

-  $Q_\alpha$  أو باستخدام تمديد سمرفيلد يمكن إيجاد صيغة

مستوى الطاقة عند الاتزان بمعنى في حالة عدم وجود فولتية انحياز. كما يمكن التحكم بموقع  $E_d$  عن طريق استخدام فولتية بوابة (gate voltage)  $(V_g)$  بمعنى  $E_d \Rightarrow E_{d+eV_g}$ .

أن الحد الثالث من المعادلة (1) يمثل جزء الهايبردينونين الذي يخص الأقطاب. يمثل  $E_{k\alpha}$  مستوى الطاقة  $k_\alpha$  في حزمة الطاقة للقطب  $\alpha$ , حيث ان  $k_\alpha$  يمكن ان تمثل مجموعة الأعداد الكمية المقابلة للمستوى في حزمة الطاقة  $\alpha$ . يمثل  $C_{k\alpha}^\sigma$  و  $C_{k\alpha}^{\sigma+}$  مؤثري الخلق والهدم للإلكترونات ذات الزخم  $k_\alpha$  والبرم  $\sigma$  في القطب Right( $=L,R$ ). حيث يشير R الى القطب الأيمن Lead Left الى القطب الأيسر. الحد الأخير من العلاقة (1) يمثل جزء الهايبردينونين الذي يخص تفاعل الاقتران Coupling Interaction بين النقطة الكمية والأقطاب. يمثل  $V_{k\alpha}$  قوة تفاعل الاقتران. أن قوة الاقتران هذه ترتبط بدلالة التهجين hybridization function وفقاً للعلاقة التالية:-

$$-i\Gamma_\alpha = \sum_{k\alpha} \frac{|V_{k\alpha}|^2}{(E - E_{k\alpha} + i\delta)} \quad (2)$$

تمثل  $\Gamma_\alpha$  دالة التهجين لمستوي طاقة النقطة الكمية مع مستويات الطاقة في حزمة الطاقة القطب  $\alpha$ . في دراستنا هذه افترضنا أن  $\Gamma_\alpha$  لا يعتمد على الطاقة وهذا التقريب يصح عندما تكون حزم الطاقة في الأقطاب R و L حزم عريضة Wide Bands وبكثافة حالات ثابتة. أن دالة التهجين الكلية تعطى بما يلي :-

$$\Gamma = \sum_{\alpha} \Gamma_{\alpha} \quad (3)$$

من المعروف انه لتحديد الخواص الكهروحرارية المعتمدة على البرم لنقطة كمية محصورة بين قطبين كان لابد اولا من تحديد خصائص النقل البرمي وذلك بحساب تيار البرم. ويعطى التيار البرمي  $I^o$  اللقاة البرمية  $\sigma$  المار في النقطة المكترضة  $A$  بزاوية  $\alpha$  [11]

$$I^\sigma = \frac{e}{\hbar} \int dE [f_L^\sigma(E) - f_R^\sigma(E)] T^\sigma(E)$$

(4)

5 - درجة حرارة الأقطاب بمعنى الانحدار الحراري المسلط.

### 3 - الحسابات والنتائج:-

ولدراسة خصائص النقل بشكل عام سيتم في هذه الفقرة حساب التيارات المذكورة أعلاه واستعراضها كدالة لأنحصار في البرم . أن اعتماد الجهد الألكتروكيميائي Electro-chemical potential  $\mu_{\alpha}^{\sigma}$  على البرم (وفي حال عدم وجود الأنحصار في الشحنة وكما هو موضح في الشكل (1) يمكن أن يأخذ الصيغ التاليه:-

$$\mu_L^{\sigma} = eV_s \quad ; \quad \mu_L^{-\sigma} = -eV_s$$

$$\mu_R^{\sigma} = -eV_s/2 \quad ; \quad \mu_R^{-\sigma} = eV_s/2$$

فيما يلي سيتم دراسة كافة المعاملات المأخوذة بنظر الاعتبار في المعالجة وتأثيرها في حساب تيار الشحنة والبرم

والحرارة حيث ستكون درجة حرارة القطب الأيمن  $T_R$

$T_L = 200 K$  ودرجة حرارة القطب الأيسر  $.400K$

أما مستويات طاقة النقطة الكمية  $E_d^{\sigma}$  و  $E_d^{-\sigma}$  فتحدد بالطاقة  $h$  التي كانت متساوية  $eV$  كما أن معدل النفق سيكون مساوياً أولاً إلى  $0.04 eV$  . حيث سيتم استعراض نتائجنا الخاصة بحساب مركبات تيار الحرارة  $I_{\alpha}^{\pm\sigma}$  وكذلك تيار الحرارة لقناتي البرم  $\sigma$  و  $-\sigma$  - بالإضافة إلى تيار الحرارة للشحنة  $I_{QC}$  وتيار الحرارة للبرم  $I_{QS}$  كدالة لأنحصار البرم وللمعاملات المذكورة أعلاه.

توضح الأشكال ( 5 - 2 ) حساباتنا الخاصة بتيار الحرارة عندما يكون  $E_d = 0.04 eV$  و  $\Gamma_L = 0.04 eV$

ولقيم  $h$  المختلفة ، ويمكن أيجاز النتائج بما يلي:-

1 - لقيمة محددة من قيم  $h$  يكون سلوك  $I_{QL}^{-\sigma}$  معاعكس لسلوك  $I_{QR}^{-\sigma}$  مع قطبية الانحصار البرمي

$$\begin{aligned} I_{Q\alpha}^{\sigma} &= \frac{2\Gamma_R\Gamma_L}{\Gamma_R + \Gamma_L} \left\{ \frac{\Gamma}{2} \ln \frac{(\mu_{\alpha}^{\sigma} - E_d^{\sigma})^2 + \Gamma^2}{(-2\beta - E_d^{\sigma})^2 + \Gamma^2} \right. \\ &+ E_d^{\sigma} \left[ \tan^{-1} \frac{(\mu_{\alpha}^{\sigma} - E_d^{\sigma})}{\Gamma} \right. \\ &\left. - \tan^{-1} \frac{(-2\beta - E_d^{\sigma})}{\Gamma} \right] \\ &+ \frac{\pi^2}{6} (K_B T_{\alpha})^2 \frac{\Gamma}{(\mu_{\alpha}^{\sigma} - E_d^{\sigma})^2 + \Gamma^2} \Big\} \\ &+ \frac{\pi^2}{6} (K_B T_{\alpha})^2 \mathcal{T}^{\sigma}(\mu_{\alpha}^{\sigma}) \left\{ 1 \right. \\ &\left. - 2 \frac{(\mu_{\alpha}^{\sigma} - \mu)}{\Gamma} (\mu_{\alpha}^{\sigma} - E_d^{\sigma}) \mathcal{T}^{\sigma}(\mu_{\alpha}^{\sigma}) \right\} \end{aligned} \quad (13)$$

وباستخدام العلاقات(12) و(13) يمكن حساب تيار الحرارة للشحنة :-

$$I_{QC} = I_Q^{\sigma} + I_Q^{-\sigma} \quad (14)$$

وكذلك تيار الحرارة للبرم :-

$$I_{QS} = I_Q^{\sigma} - I_Q^{-\sigma} \quad (15)$$

أن صيغة تيار الحرارة البرمي تعتمد على:-

1- موقع مستوى الطاقة المؤثر للنقطة الكمية  $E_d$  بالنسبة لمرجع الطاقة  $\mu = 0$ .

2- قوى الاقتران بين النقطة الكمية والأقطاب غير المغناطيسي والمتمثلة بمعدلات النفق  $\Gamma_L$  و  $\Gamma_R$  الغير معتمدة على البرم.

3- موقع مستويات طاقة النقطة الكمية  $E_d^{\sigma}$  و  $E_d^{-\sigma}$  المرتبطة بالمجال المغناطيسي المسلط على النقطة الكمية والذي يعد كفوليّة بوابة.

4- الانحصار البرمي المسلط على الأقطاب.

تيارات القنوات البرمية  $\sigma$  و  $\sigma^-$  - تزداد مع زيادة  $h$   
وبالأخص لقيم  $eV_S$  ذات القطبية السالبة.

9 - أما سلوك تيار الحرارة البرمي  $I_{QS}$  فهو مختلف أذ يحتوي منحنى  $I_{QS}$  على مدى لقيم  $eV_S$  تقل فيها قيم  $I_{QS}$  على الرغم من زيادة  $eV_S$  ، هذا المدى يزداد مع زيادة  $h$ .

عندما يكون  $\Gamma_L = \Gamma_R = E_d = -0.04\text{ eV}$  ولقيمة  $eV_S = 0.04\text{ eV}$  نفسها يتضح أن سلوك المركبات مع  $eV_S$  مختلف وكما هو موضح في الأشكال (9 - 6) هذه الأشكال توضح أن تصرف منحنى  $I_{QL}^\sigma$  يأخذ نفس تصرف  $I_{QR}^\sigma$  و  $I_{QL}^{\sigma^-}$  يأخذ نفس تصرف  $I_{QR}^{\sigma^-}$  الخاص بالحسابات عندما  $E_d = 0.04\text{ eV}$  . وعليه يكون  $I_Q^\sigma > I_Q^{\sigma^-} > eV_S$  لقيم  $eV_S$  الموجبة بينما  $I_Q^{\sigma^-} > I_Q^\sigma$  لقيم  $eV_S$  السالبة. وبمقارنة الأشكال الخاصة بتيار الحرارة للشحنة نلاحظ أن قيم التيار تكون صورة مقلوبة لتيار الحرارة للشحنة عندما  $E_d = 0.04\text{ eV}$

#### 4 - الاستنتاجات:-

بالاعتماد على كل المظاهر الفيزيائية التي وردت في حساباتها يمكن أن نستنتج أن الأنماذج تضمن العديد من المعاملات المهمة التي تدخل في موضوع الكالورنيات البرمية وبالأخص الانحدار الحراري على الأقطاب الذي يمكن فحص تأثيره على كل الخصائص الوظيفية للجهاز ولائي قيمة من قيم الانحدار الحراري. حيث يمكن التحكم بتيار الحرارة وبقناة برمية محددة بحيث يمكن جعلها تسود أو تنتهي وذلك عن طريق تغيير كل المعاملات الأخرى المرتبطة بالكالورنيات البرمية كال المجال المغناطيسي وموضع مستوى الطاقة المؤثر للنقطة الكمية بالنسبة للجهد الكيميائي الذي يتغير وفقاً للانحياز البرمي.

بينما تكون منحنيات كل من  $I_{QL}^\sigma$  و  $I_{QR}^\sigma$  متناظرة مع تغيير قطبية الأنبياء البرمي.

2 - يكون تيار الحرارة للقناة البرمية  $\sigma$  تقريباً متناظره مع تغيير قطبية فولتية الانحياز. وهي نتيجة منطقية تتفق مع ما جاء في النقطة (1) أعلاه بينما نلاحظ أن قيم تيار الحرارة للقناة البرمية  $\sigma$  - تكون سالبة عندما تكون فولتية الأنبياء البرمي موجبة والعكس. أن منحنى تيار الحرارة للقناة البرمية  $\sigma$  والقناة البرمية  $\sigma^-$  لا يكون خطياً ولكن قيم الأنبياء البرمي.

3 - الواضح من الشكل (2) أن سلوك كل من  $I_{QC}$  و  $I_{QS}$  يكون درجي وبشكل واضح وبالأخص حول قيمة الأنبياء البرمي المساوية إلى صفر.

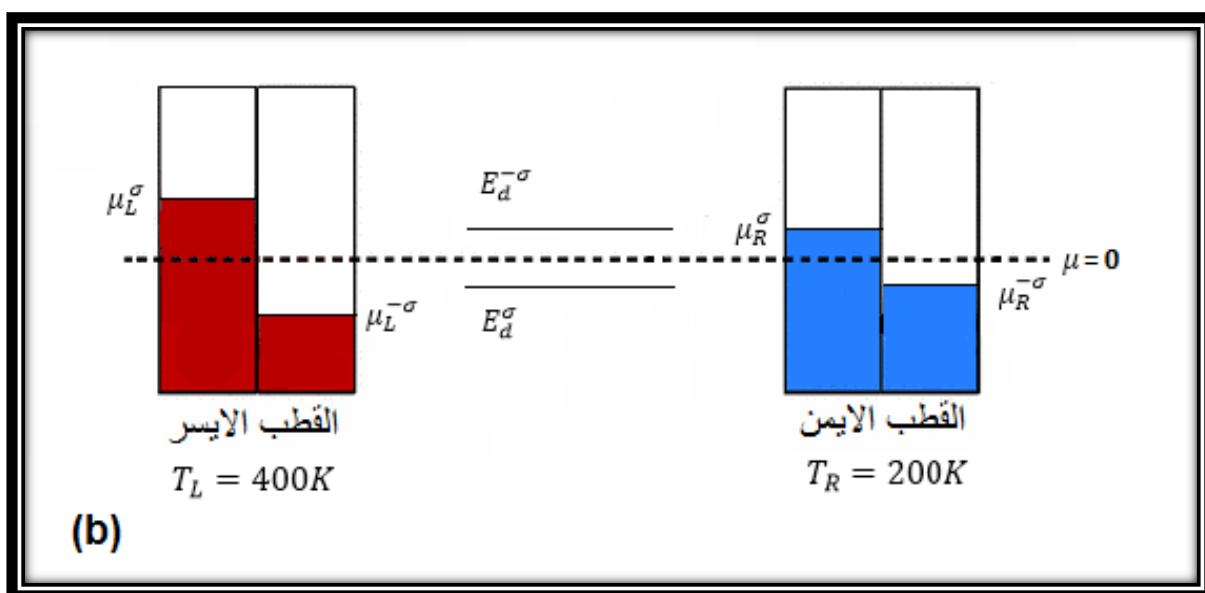
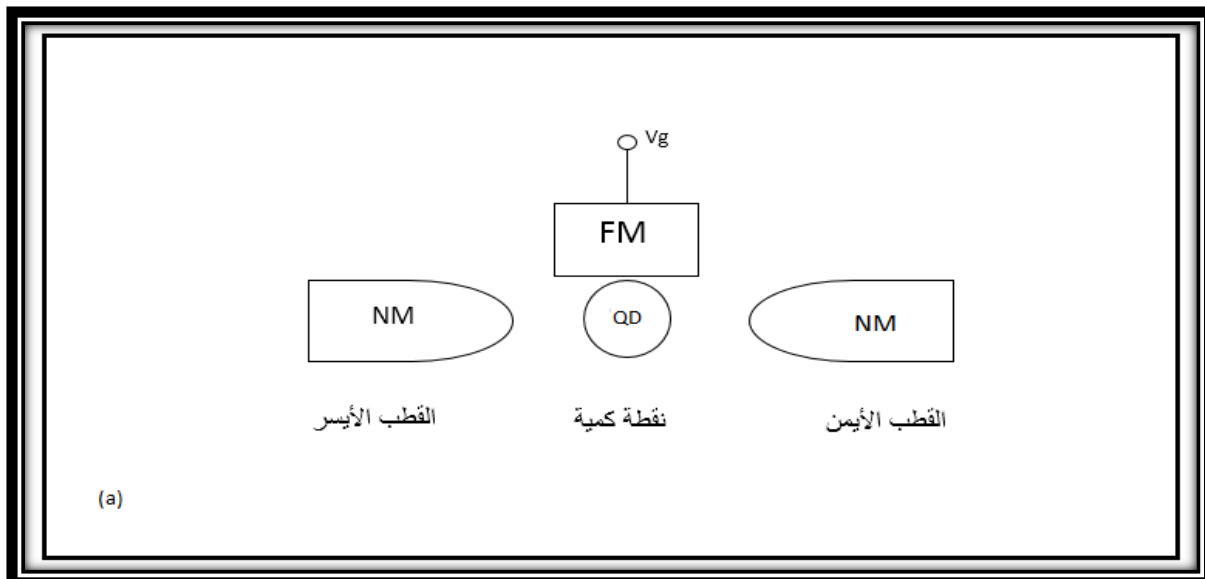
4 - أن تيار الحرارة البرمي  $|I_{QS}|$  يزداد مع زيادة فولتية الأنبياء البرمي  $|eV_S|$  حيث يكون  $I_Q^\sigma > I_Q^{\sigma^-}$  لكل قيمة  $eV_S$  الموجبة ويكون  $I_Q^{\sigma^-} > I_Q^\sigma$  لكل قيمة  $eV_S$  الموجبة .

5 - مع زيادة قيمة  $h$  لا تبقى كل الملاحظات أعلاه صحيحة حيث نلاحظ أنه لقيم  $eV_S$  الموجبة يكون  $I_{QR}^\sigma > I_{QL}^\sigma$  ويكون  $I_{QR}^\sigma > I_{QL}^{\sigma^-}$  والعكس بالعكس. كما نلاحظ أن هناك مدى محدد من قيم  $eV_S$  تتساوى فيها  $I_{QL}^\sigma$  و  $I_{QR}^\sigma$  كما أن هناك مدى محدد من قيم  $eV_S$  تتساوى فيها  $I_{QL}^\sigma$  و  $I_{QR}^\sigma$  ، هذه المديات تزداد مع زيادة  $eV_S$  .

6 - تزداد قيم مركبات تيار الحرارة للقنوات البرمية المختلفة مع زيادة  $h$ . والواضح أن هذه المديات تزداد مع زيادة  $h$ .

7 - هناك قيمة محددة لـ  $eV_S$  يكون فيها  $I_Q^\sigma = I_Q^{\sigma^-}$  هذه النقطة تزاح باتجاه قيم  $eV_S$  الأكثر سالبة مع زيادة  $h$ . موقع هذه النقطة على محور  $eV_S$  يكون مقارب لقيمة  $h$ .

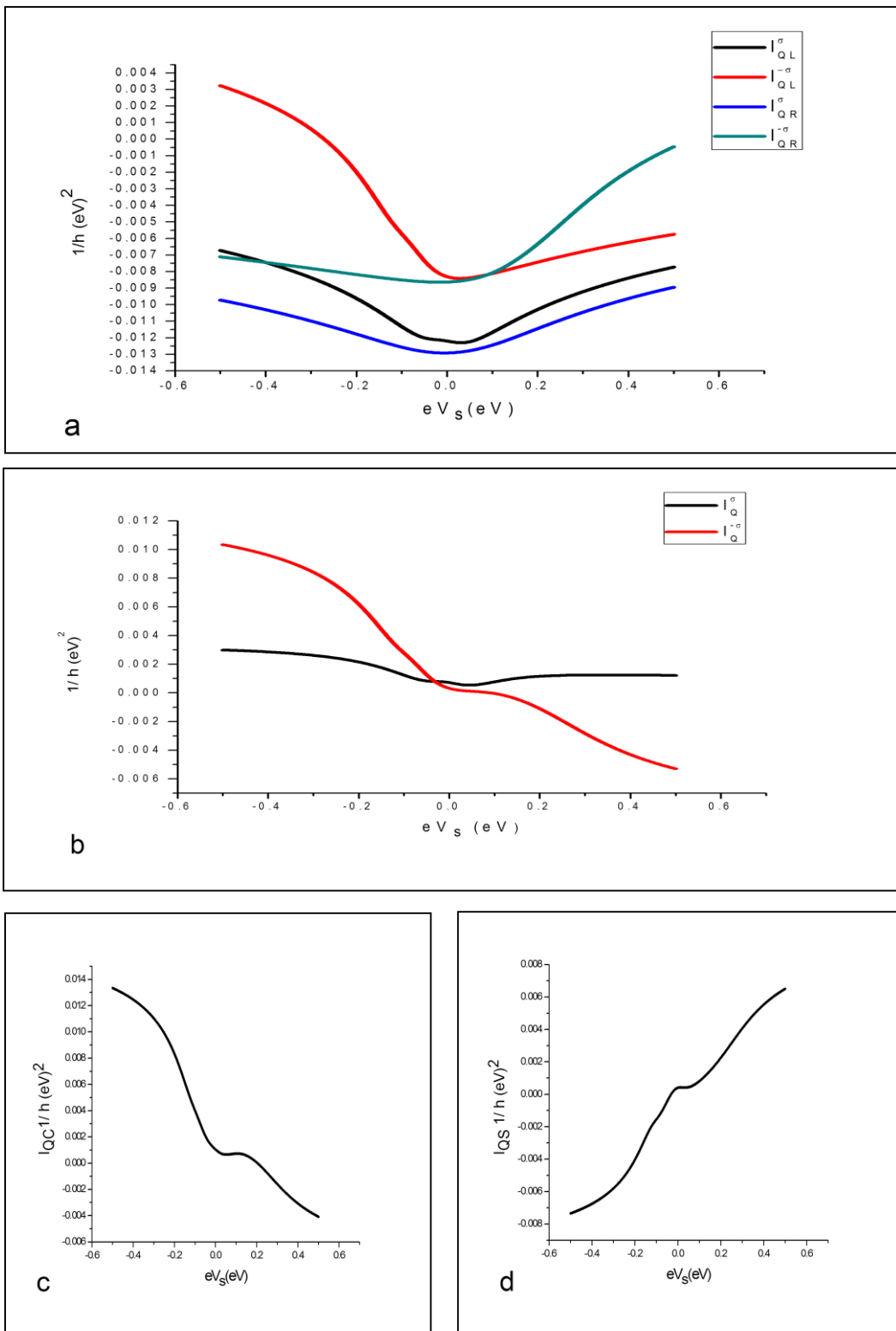
8 - أن سلوك تيار الحرارة للشحنة  $I_{QC}$  بشكل عام لا يتغير مع تغير  $h$  ولكنه يزداد مع زيادة  $h$ . وذلك لأن قيم



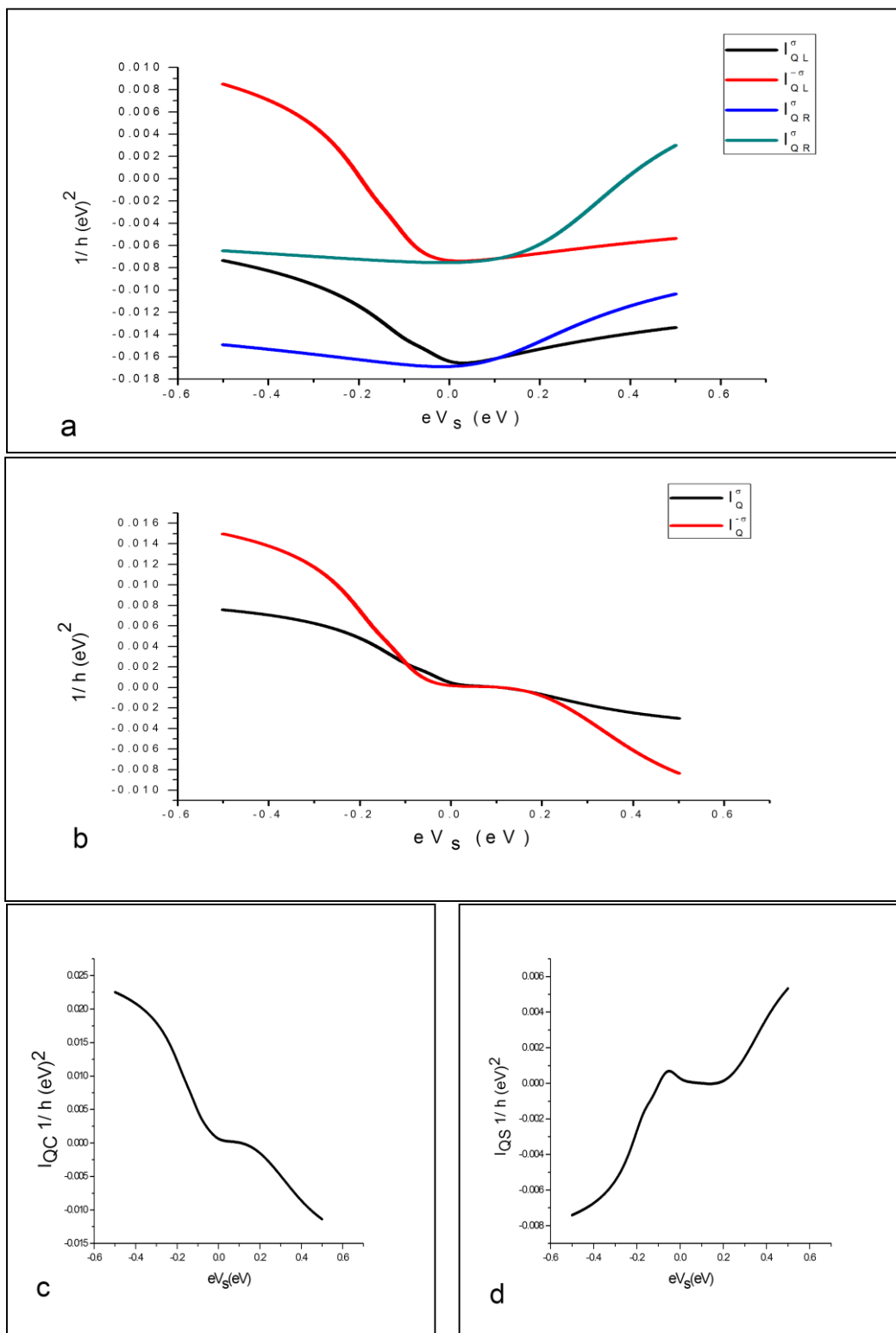
الشكل (1) يوضح (a) نقطة كمية تحت تأثير مجال مغناطيسي موضوعة بين قطبين افتراضيين.

(b) مخطط الطاقة للجهاز المأهول بنظر الاعتبار في دارستنا في حالة

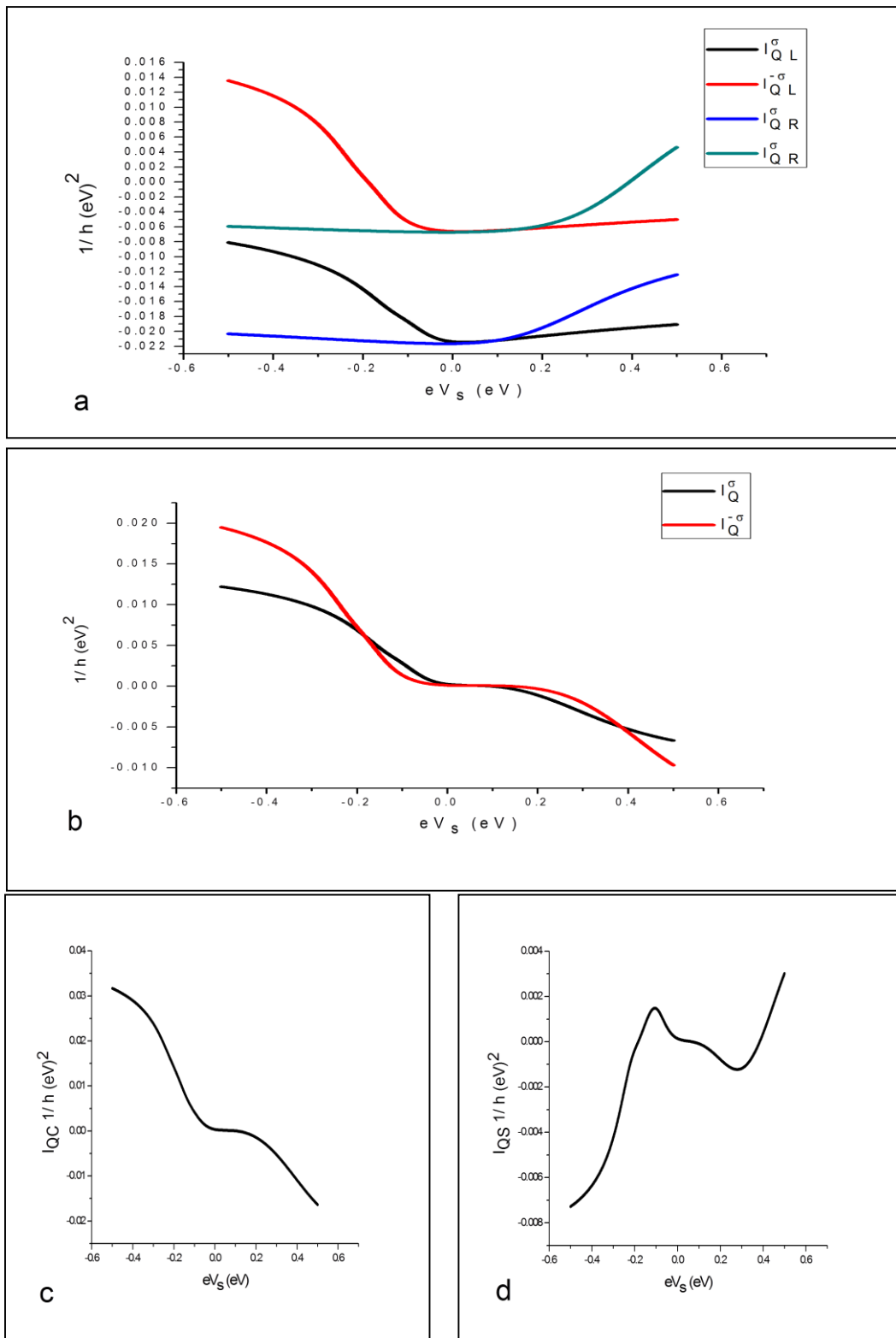
وجود الأنحصار البرمي.



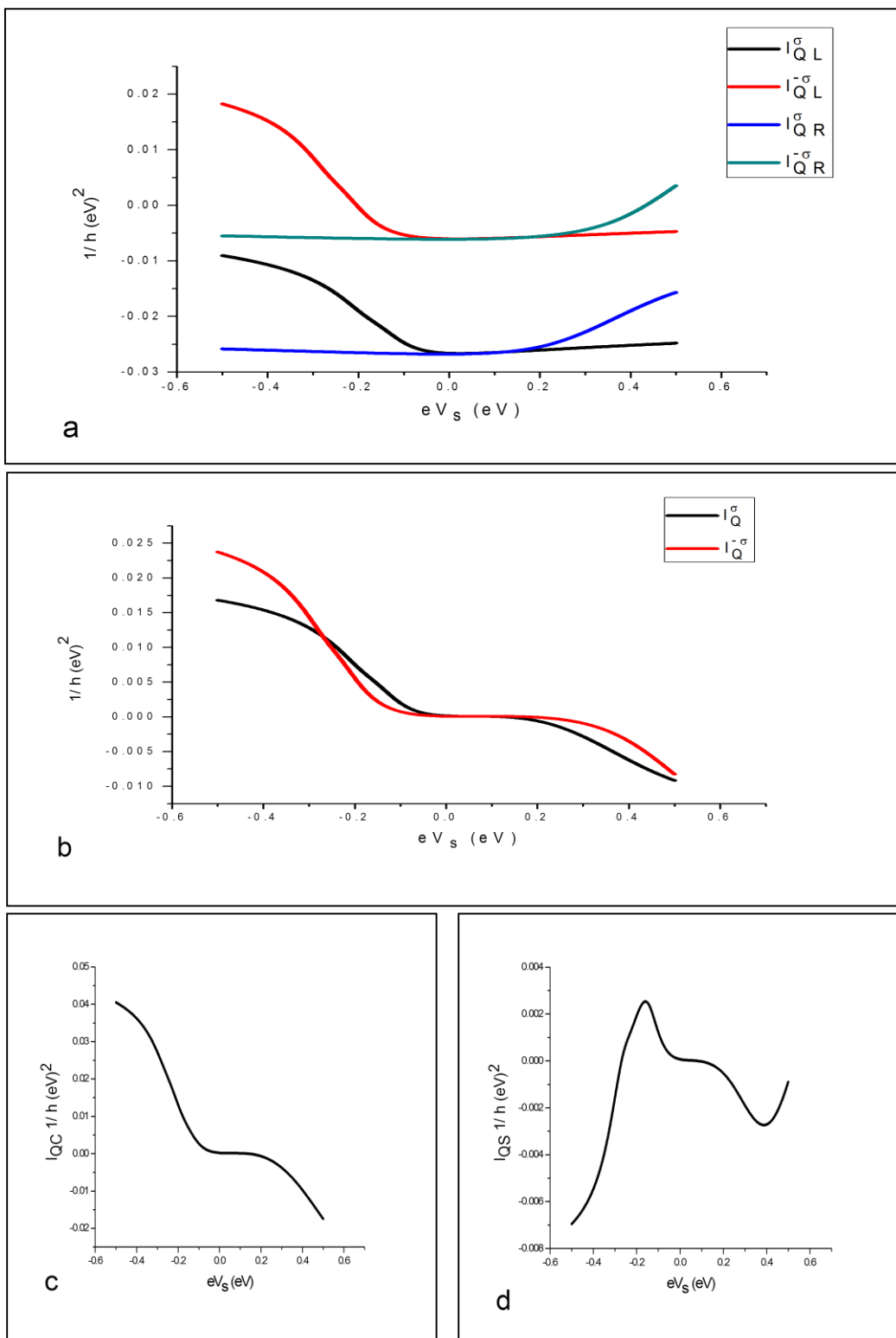
الشكل (2): (a) مركبات التيار  $I_{Q\alpha}^{\pm\sigma}$ . (b) مركبات قاتي البرم للحرارة  $I_Q^{\pm\sigma}$ . (c) تيار الحرارة للشحنة . (d) تيار الحرارة للبرم عندما  $\hbar = 400 K$  و  $T_L = 200 K$  و  $T_R = 0.04 eV$  و  $E_d = 0.04 eV$  و  $\Gamma_L = \Gamma_R = 0.05 eV$



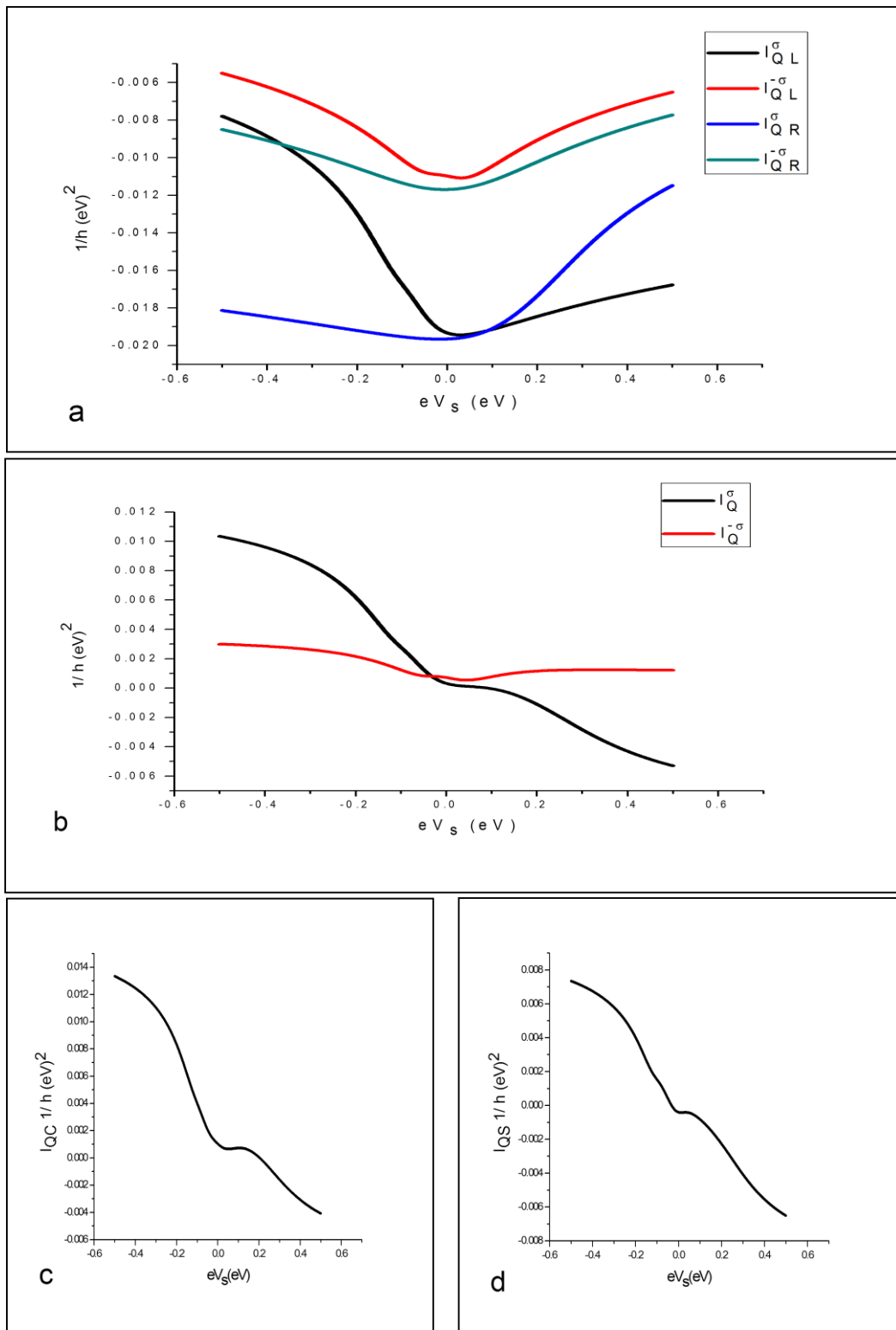
الشكل (3): (a) مركبات التيار  $I_{Q\alpha}^{\pm\sigma}$ . (b) مركبات قناتي البرم للحرارة  $I_Q^{\pm\sigma}$ . (c) تيار الحرارة للشحنة . (d) تيار الحرارة  
 $\cdot h = 0.1 \text{ eV}$  و  $T_L = 400 \text{ K}$  و  $T_R = 200 \text{ K}$  و  $\Gamma_L = \Gamma_R = 0.04 \text{ eV}$  و  $E_d = 0.04 \text{ eV}$  للبرم عندما



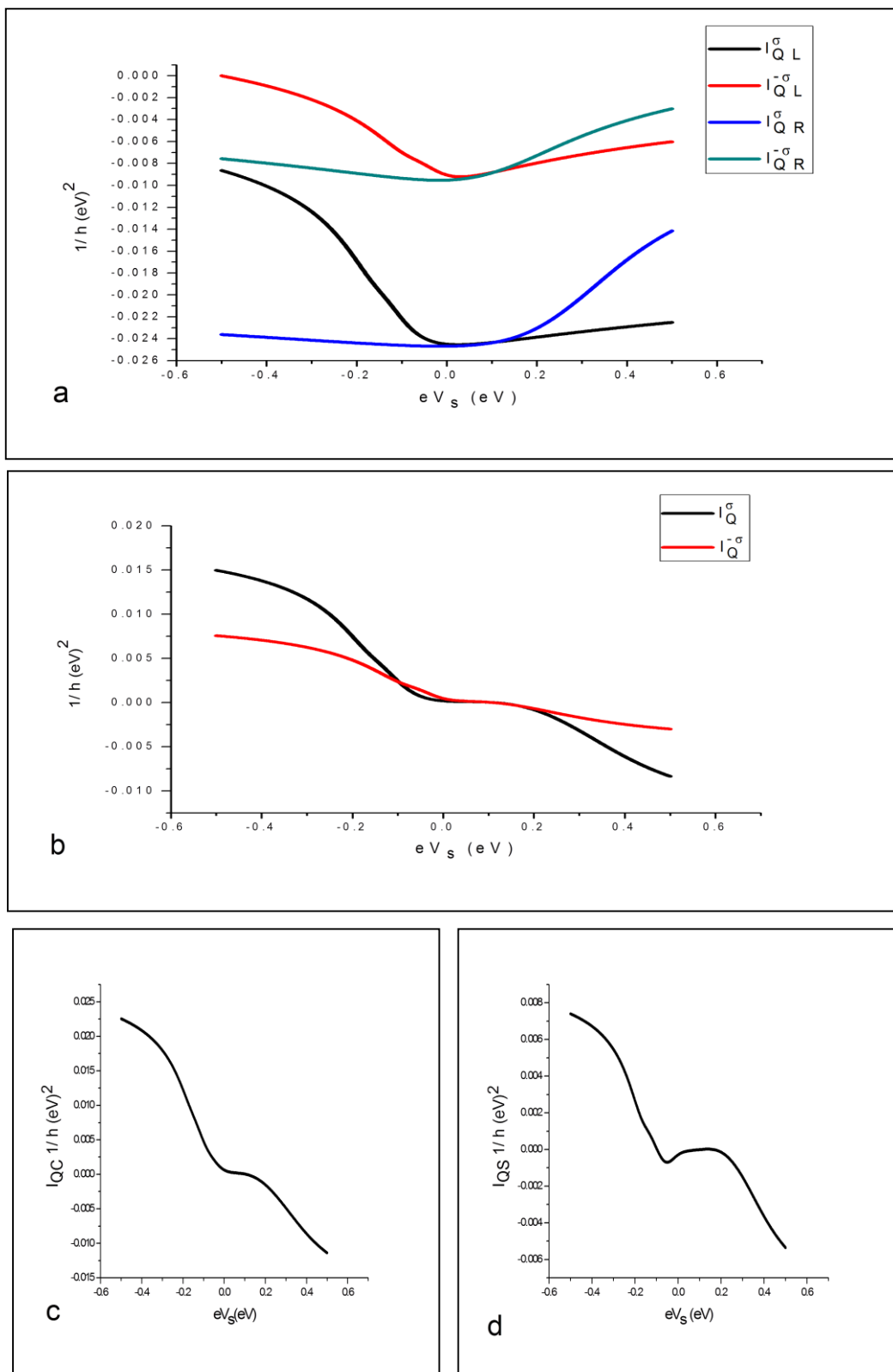
الشكل (4): (a) مركبات التيار  $I_{Q\alpha}^{\pm\sigma}$ . (b) مركبات قناتي البرم للحرارة  $I_Q^{\pm\sigma}$ . (c) تيار الحرارة للشحنة . (d) تيار الحرارة  
 $\hbar = 1.6 \times 10^{-34} \text{ Js}$  و  $T_L = 400 K$  و  $T_R = 200 K$  و  $\Gamma_L = \Gamma_R = 0.04 \text{ eV}$  و  $E_d = 0.04 \text{ eV}$  و  $0.15 \text{ eV}$  عندما للبرم



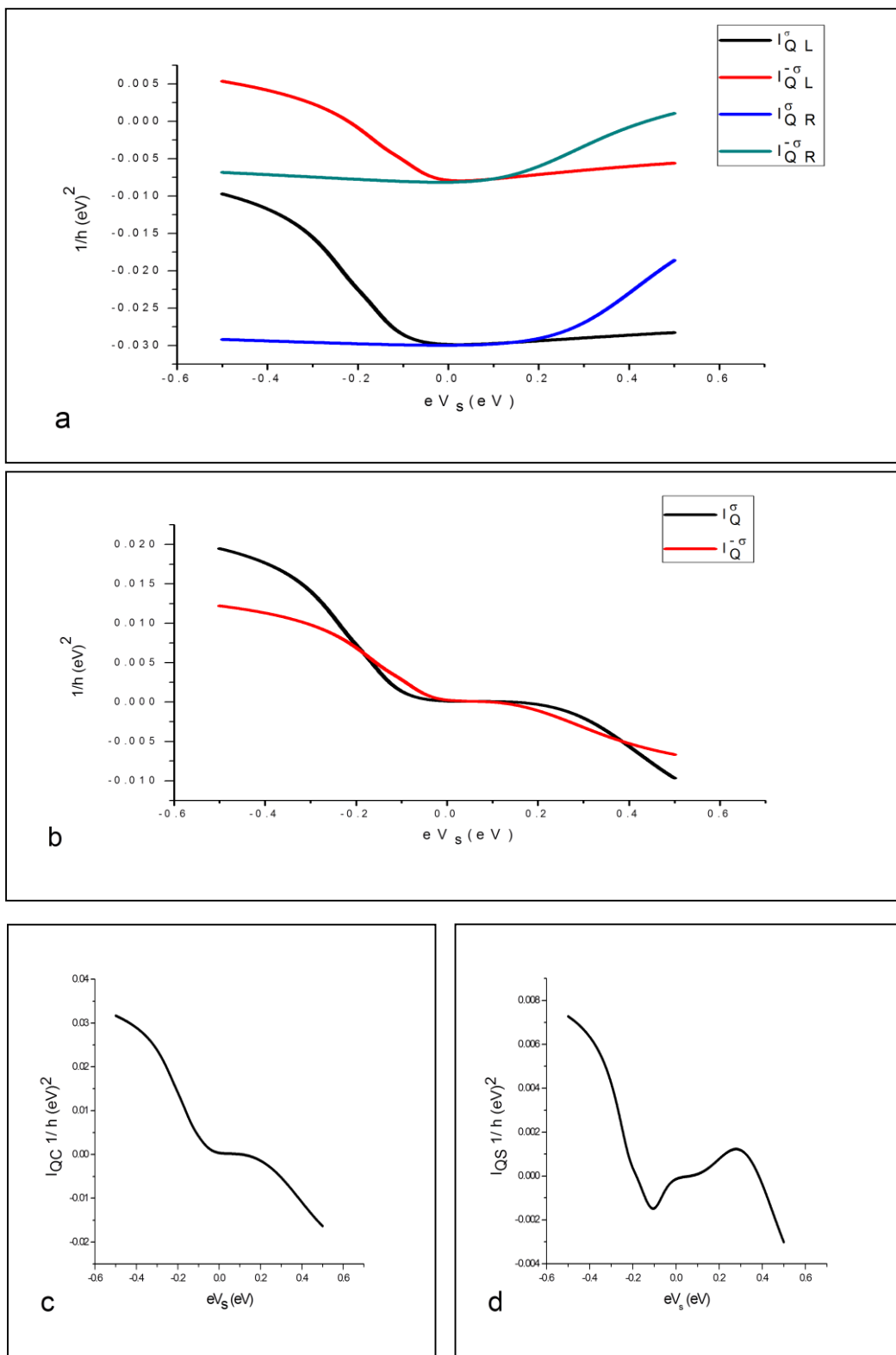
الشكل (5): (a) مركبات التيار  $I_Q^\pm \sigma$ . (b) مركبات قناتي البرم للحرارة  $I_Q^\pm \sigma$ . (c) تيار الحرارة للشحنة . (d) تيار الحرارة للبرم عندما  $\hbar = 0.2 \text{ eV}$  و  $T_L = 400 \text{ K}$  و  $T_R = 200 \text{ K}$  و  $\Gamma_L = \Gamma_R = 0.04 \text{ eV}$  و  $E_d = 0.04 \text{ eV}$



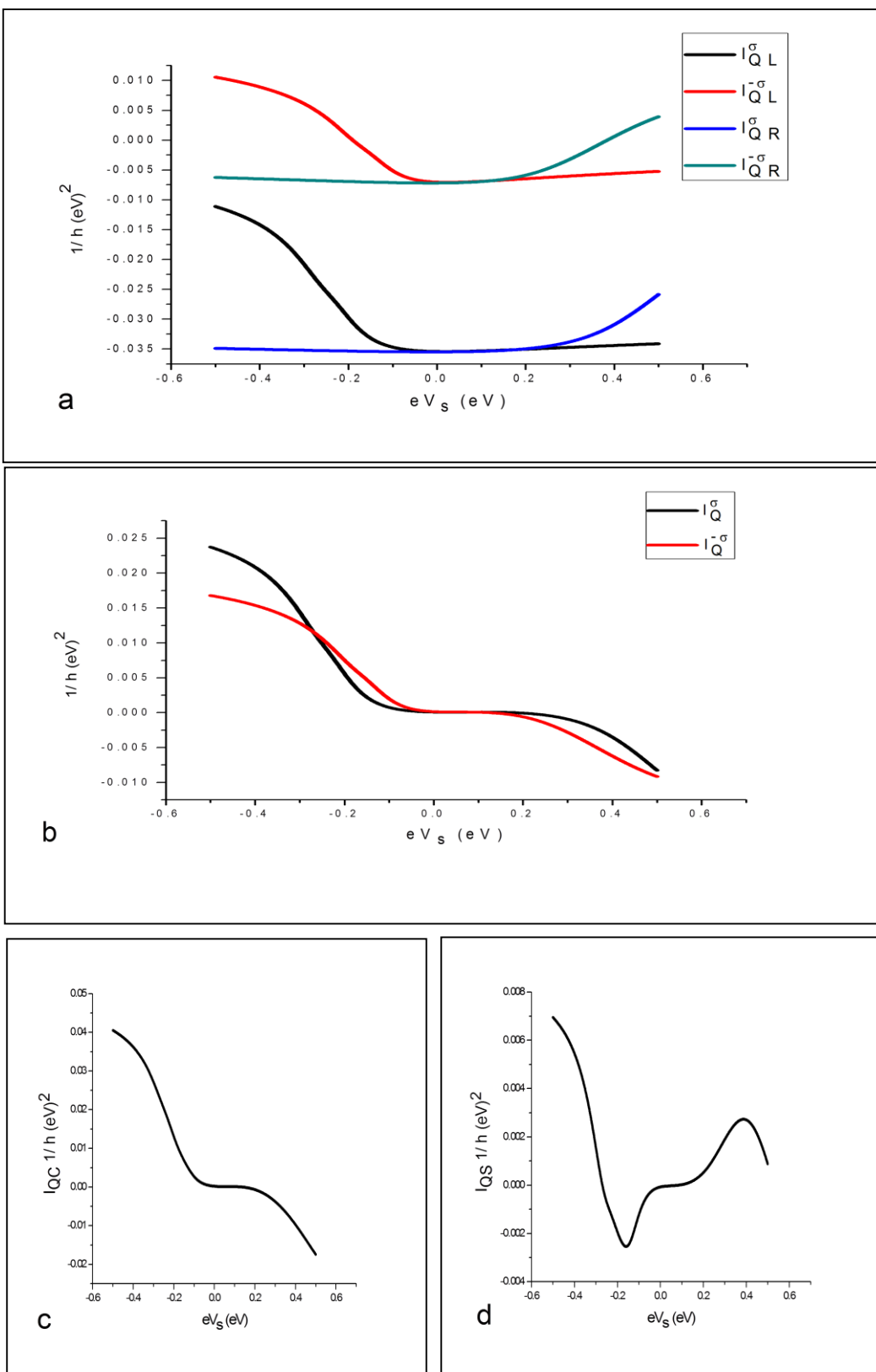
الشكل (6): (a) مركبات التيار  $I_{Q\alpha}^{\pm\sigma}$ . (b) مركبات قناتي البرم للحرارة  $I_Q^{\pm\sigma}$ . (c) تيار الحرارة للشحنة. (d) تيار الحرارة  
 $\hbar = 1$  و  $T_L = 400 K$  و  $T_R = 200 K$  و  $\Gamma_L = \Gamma_R = 0.04 eV$  و  $E_d = -0.04 eV$  و  $0.05 eV$  للبرم عندما



الشكل (7): (a) مركبات التيار  $I_{Q\alpha}^{\pm\sigma}$ . (b) مركبات قناتي البرم للحرارة  $I_Q^{\pm\sigma}$ . (c) تيار الحرارة للشحنة . (d) تيار الحرارة للبرم عندما  $T_L = 400 K$  و  $T_R = 200K$  و  $\Gamma_L = \Gamma_R = 0.04 eV$  و  $E_d = -0.04 eV$  و  $0.1 eV$



الشكل (8): (a) مركبات التيار  $I_{Q\alpha}^{\pm\sigma}$ . (b) مركبات قناتي البرم للحرارة  $I_Q^{\pm\sigma}$ . (c) تيار الحرارة للشحنة . (d) تيار الحرارة  
 $\hbar = 400 \text{ K}$  و  $T_L = 200 \text{ K}$  و  $T_R = 0.04 \text{ eV}$  و  $E_d = -0.04 \text{ eV}$  و  $\Gamma_L = \Gamma_R = 0.15 \text{ eV}$  للبرم عندما



الشكل (9): (a) مركبات التيار  $I_{Q\alpha}^{\pm\sigma}$ . (b) مركبات قناتي البرم للحرارة  $I_Q^{\pm\sigma}$ . (c) تيار الحرارة للشحنة . (d) تيار الحرارة  
 $\hbar = T_L = 400 K$  و  $T_R = 200 K$  و  $\Gamma_L = \Gamma_R = 0.04 eV$  و  $E_d = -0.04 eV$  و  $0.2 eV$  للبرم عندما

**References:**

- [1] M. Johnson, Solid State Commun. 150, 543 (2010).
- [2] F. Giazotto, T.T Heikkila, A. Luukanen, A. M. Savin, and J. Pekola, Rev. Mod. Phys. 78, 217 (2016).
- [3] J.-H. Jiang, Phys. Rev. E 90, 042126 (2014).
- [4] R. S. Whitney, Phys. Rev. Lett. 112, 130601 (2014).
- [5] E.g., J.-H. Jiang, O. Entin-Wohlman, and Y. Imry, Phys. Rev. B 87, 205420 (2013).
- [6] R. Bosisio, C. Gorini, G. Fleury, and J.-L. Pichard, New J. Phys. 16, 095005 (2014).
- [7] R. Bosisio, C. Gorini, G. Fleury, and J.-L. Pichard, Phys. Rev. Applied 3, 054002 (2015).
- [8] A. Hewson, The Kondo Problem to Heavy Fermions (Cambridge University Press, New York, 1993).
- [9] Mohannad Mohsen Marzoq, "Spin Transport Through Quantum Dot under Magnetic Field Effect" University of Basra, College of Education for Pure Sciences(2015).
- [10] Tomaz Rejec, Rok Zittko, Jernej Mravlje, and Anton Ramsak, PHYSICAL REVIEW B 85, 085117 (2012).
- [11] H. Haug and A. P. Jauho, Quantum Kinetics in Transport and Optics of Semiconductors, (Springer, Berlin, 1996).
- [12] Y. Meir and N. S. Wingreen, Phys. Rev. Lett. 68, 2512 (1992).

## Study in the Spin Caloritronics for Quantum Dot in Magnetic Field: The Spin Heat Current

Reman Jamal Jasm      J. M. AL-Mukh

*Physics Department, Collage of Education for Pure Science, Basra University, Basra, Iraq.*

### **Abstract:**

In this research, we present model calculation to study and calculate the spin current which is considered as an entrance to study the spin thermoelectric properties of a quantum dot emended between two non-magnetic leads. With external magnetic field effects on the quantum dot, the quantum dot energy levels positions are related with magnetic field. Since, we are concerning to the spin caloritronics, the chemical potential of the leads will be determined by the spin bias and the temperature gradient on the leads. Our, treatment does not include temperature whishes usually low in nano devices and the coupling Strenght between the Quantum dot and each electrode is spin independent.

**keywords:** Quantum Dot, Electrothermal materials, Properties of spin transport, Spin heat current.